

ارائه «توابع مقایسه‌ای اصلاح شده» برای آنالیز ارتعاشی صفحه مستطیلی با ترکی به طول و عمق دلخواه و به موازات یکی از اضلاع

موسی رضائی
دانشجوی دکتری

سیامک اسماعیل‌زاده خادم
استادیار

دانشکده مهندسی مکانیک، دانشگاه تربیت مدرس

چکیده

در این تحقیق برای به دست آوردن فرکانس‌های طبیعی و شکل مدهای ارتعاشی صفحه ترکدار، برای اولین بار توابع جدیدی پیشنهاد می‌شود که ضمن ارضا شرایط مرزی هندسی و طبیعی مسئله، از دقت بالاتری نسبت به توابع مقایسه‌ای^۱ برخوردار می‌باشد. این توابع جدید را «توابع مقایسه‌ای اصلاح شده»^۲ می‌نامیم. ترک به موازات یکی از اضلاع صفحه مستطیلی می‌باشد که دارای عمق، طول و موقعیت دلخواه است. وجود ترک گه موجب افزایش خمش پذیری موضعی^۳ صفحه در محل ترک می‌شود، به صورت نایپوستگی در شب طرفین ترک و با توجه به مفاهیم ضرب شدت تنش^۴ و کمپلائنس^۵ مدل شده است.

«توابع مقایسه‌ای اصلاح شده» دقیق‌تر از توابع مقایسه‌ای و نزدیک به توابع ویژه^۶ هستند و افزایش دقت آنها بستگی به مدل انتخاب شده دارد به طوری که با در نظر گرفتن مدل مناسب، دقت بسیار مطلوبی قابل حصول است. از این توابع برای تحلیل ارتعاشی^۷ مسئله و به دست آوردن فرکانس‌های طبیعی صفحه ترکدار استفاده شده و نتایج به صورت معنی‌هایی که تغییرات فرکانس‌های طبیعی صفحه ترکدار را بر حسب عمق، طول و موقعیت ترک نشان می‌دهند، ارائه شده است.

Introduction of "Modified Comparison Functions" for Vibration Analysis of a Rectangular Cracked Plate

S. Esmaeilzadeh Khadem
Assistant Professor

M. Rezaee
Ph.D. Student

Mechanical Engineering Department,
Tarbiat Modarres University

Abstract

In order to obtain natural frequencies and mode shapes of a cracked plate, for the first time, new functions which satisfy all natural and geometric boundary conditions are suggested. In this paper, these functions are called "modified comparison functions". The so-called modified comparison functions are more accurate than comparison functions and their accuracy is close to the eigenfunctions of the problem. Here, these functions are used for vibration analysis of a cracked rectangular plate having a crack parallel to one side of the plate with arbitrary length, depth and location.

The presence of a crack introduces considerable local flexibility at its location. This flexibility is modeled as a slope discontinuity at the two sides of the crack by means of stress-intensity factor and bending compliance. Using the "modified comparison functions" vibration analysis is carried out and the results are presented by appropriate curves showing variations of the natural frequencies of the cracked plate in terms of crack parameters i.e. depth, length and the location of the crack.

۱- مقدمه

معروف هستند. در این تحقیق برای به دست آوردن فرکانس‌های طبیعی و شکل مدهای ارتعاشی صفحه ترکدار، برای اولین بار توابع جدیدی پیشنهاد می‌شود که ضمن ارضا شرایط مرزی هندسی و طبیعی مسأله از دقت بالاتری نسبت به توابع مقایسه‌ای اصلاح شده. این توابع جدید را «توابع مقایسه‌ای اصلاح شده» می‌نامیم. در این مقاله «توابع مقایسه‌ای اصلاح شده» برای صفحه مستطیلی معیوب با ترکی به طول، عمق و موقعیت دلخواه که به موازات یکی از اضلاع صفحه می‌باشد و حالت تکیه گاهی آن (S-S-S-S) است به دست آمده و کار بردا آنها در محاسبه فرکانس‌های طبیعی صفحه معیوب با استفاده از روش ریلی - ریتز مورد بحث قرار می‌گیرد.

۲- مدلسازی رفتار الاستیک ترک با طول محدود

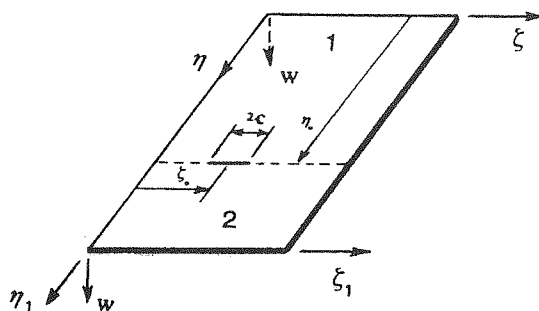
برای مدلسازی ترک با طول محدود که در آنالیز ارتعاشی صفحه معیوب به کار می‌رود، صفحه‌ای را مطابق شکل (۱) در نظر می‌گیریم، ترک به طول $2C$ و به موازات یکی از اضلاع صفحه و مختصات مرکز آن x_0 و y_0 می‌باشد و پارامترهای بدون بعد مورد استفاده عبارتند از:

$$2c = \frac{2C}{a} \quad \text{طول نسبی ترک}$$

$$\zeta_0 = \frac{x_0}{a}, \quad \eta_0 = \frac{y_0}{b} \quad \text{مختصات مرکز ترک}$$

$$\xi = \frac{h_0}{H} \quad \text{عمق نسبی ترک در مرکز آن} \quad (1)$$

در عبارات فوق a و b و H به ترتیب ابعاد صفحه در جهات x و y و z هستند و h_0 عمق مرکز ترک می‌باشد.



شکل (۱) صفحه مستطیلی ترکدار در دستگاه مختصات بدون بعد.

برای بررسی رفتار ارتعاشی صفحات با تکیه گاه‌های مختلف و نیز صفحات معیوب، معمولاً از روش‌های انرژی استفاده می‌شود. روش ریتز یکی از روش‌های متداول برای به دست آوردن تقریبی فرکانس‌های طبیعی صفحات نازک است و دقت نتایج در این روش به طور عمده تحت تأثیر توابع انتخاب شده برای شکل مدهای ارتعاشی صفحه خواهد بود [۱]. توابع مجاز^۱ از جمله توابعی هستند که به طور وسیعی در برآورده فرکانس‌های طبیعی صفحات معیوب (مدور و مستطیلی) مورد استفاده واقع می‌شوند. Leissa و همکارانش [۲] ارتعاشات صفحات مدور با شیار شعاعی ۷ شکل را با استفاده از روش ریتز و با در نظر گرفتن توابع مجاز بررسی کرده‌اند. در تحقیق دیگری Lee [۳] ارتعاشات صفحات مدور با سوراخ مرکزی را که دارای یک بردگی در فاصله بین شعاع‌های داخلی و خارجی و تحت زاویه α می‌باشد را مورد بررسی قرار داده است. در این تحقیق نیز از روش ریلی - ریتز^۲ و با در نظر گرفتن توابع مجاز استفاده شده است. برای آنالیز ارتعاشی صفحات مستطیلی معیوب از روش‌های اجزاء محدود نیز استفاده شده است. در مقاله‌ای که توسط Guan-Liang و همکارانش [۴] ارائه شده است ارتعاشات صفحه مستطیلی با ترکی که کل ضخامت صفحه را طی کرده و به موازات یکی از اضلاع صفحه است به روش اجزاء محدود تحلیل شده است. Datta و Prabhakara [۵] نیز تحقیقی در زمینه پایداری استاتیکی و ارتعاشات صفحه مستطیلی معیوب انجام داده است. در تحقیق نیز از روش اجزاء محدود استفاده شده است. در تحقیق دیگری Lim و Lee [۶] ارتعاشات صفحه مستطیلی با بردگی خطی در مرکز صفحه که به موازات یکی از اضلاع صفحه است با در نظر گرفتن اثرهای اینرسی دورانی^۳ و تغییر شکل برشی^۴ مورد بررسی قرار داده‌اند در این تحلیل از روش ریلی - ریتز برای برآورده فرکانس‌های طبیعی استفاده شده است.

از آنجا که وجود عیوب کوچک تأثیر کمتری بر فرکانس‌های طبیعی صفحه می‌گذارد، بنابر این برآورده دقیق این تغییرات با استفاده از توابع مجاز امکان پذیر نیست و از طرف دیگر به دست آوردن توابع ویژه در چنین مسائلی کار بسیار پیچیده و حتی محال است. بنابر این ناچار به استفاده از توابعی هستیم که دقت آنها بیشتر از دقت توابع مجاز باشد که به توابع مقایسه‌ای

برای آنالیز ارتعاشی صفحه با ترک به طول محدود، می‌توان تابع مدل کننده شکل ترک، رابطه (۳)، را به وسیله بسط فوریه به صورت مجموعه‌ای از توابع مثبتاتی در محدوده $a \leq x \leq 0$ بیان کرد. ولی اشکال عمده این کار در وقت‌گیر بودن محاسبات و حجم زیاد عملیات جبری و مشتق‌گیری و انتگرال‌گیری است. لذا با استفاده از رابطه زیر [۷]

$$\alpha_{bb} = \frac{1}{H} \int_0^h g \zeta dh \quad (4)$$

که در آن $g = \frac{h}{H}$ تابع بدون بعدی از عمق نسبی ترک ($\zeta = \frac{h}{H}$) در محدوده $0 < \zeta < 0.7$ می‌باشد و به صورت زیر

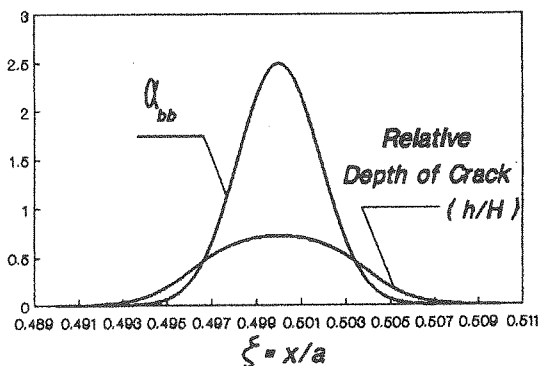
$$g_b = \frac{1}{2} (1.99 - 2.47\zeta + 12.97\zeta^2 - 23.117\zeta^3 + 24.80\zeta^4) \quad (5)$$

تابع بیان کننده کمپلائنس خمشی بدون بعد را مستقیماً به صورت تابعی از مختصه بدون بعد ζ به صورت زیر پیشنهاد می‌کنیم که فاقد اشکالات ذکر شده باشد [۹] :

$$\alpha_{bb}(\zeta) = \alpha_{bb}^\circ e^{-[(\zeta_0 - \zeta) / 2c]^2} \quad (6)$$

در رابطه (۶) α_{bb}° کمپلائنس خمشی مرکز ترک، e پایه لگاریتم طبیعی و ζ_0 مختصه بدون بعد ($1 < \zeta_0 < 0$) می‌باشد. مقدار تابع اخیر در محدوده $1 \leq \zeta_0 + c \leq \zeta \leq \zeta_0 - c$ و $0 \leq \zeta \leq 0$ بسیار کوچک بوده و با فاصله گرفتن از دو انتهای ترک، مقدار تابع اخیر عملاً صفر می‌شود. با زیاد شدن طول ترک، ζ_0 طبق رابطه (۶) به مقدار ثابت (۲) تغییرات ζ_0 برای ترکی با مشخصات شکل (۲) منحنی تغییرات ζ_0 برای ترکی با مشخصات منحنی تغییرات ζ_0 برای ترکی با مشخصات

نشان داده شده است.



شکل (۲) منحنی تغییرات کمپلائنس خمشی بدون بعد و عمق نسبی ترک برای ترکی با مشخصات $\zeta_0 = 0.5$ ، $\alpha_{bb}^\circ = 2.5$ و $2c = 0.015$.

یک مرز فرضی در امتداد ترک در نظر می‌گیریم که صفحه را به دو ناحیه تقسیم کند. Levy و Rice [۷] طی تحقیقی، نسبت فاکتور شدت تنفس را در صفحه‌ای با ترکی به طول محدود و صفحه‌ای با ترک سرتاسری تحت ممان خمشی یکسان به دست آورده‌اند. اگر k فاکتور شدت تنفس برای ترک با طول محدود و k_∞ فاکتور شدت تنفس برای ترک با طول بی‌نهایت (معادل صفحه‌ای و تحت گشتاور خمشی) باشد، با افزایش نسبت طول ترک به ضخامت صفحه، $\frac{2C}{H}$ ، نسبت $\frac{k}{k_\infty}$ به ازای تمام مقادیر عمق نسبی ترک، $\frac{h_0}{H}$ ، به سمت واحد میل می‌کند و هر چه عمق نسبی ترک کوچکتر باشد، در مقادیر نسبتاً کوچکتری از $\frac{2C}{H}$ مقدار $\frac{k}{k_\infty}$ به سمت واحد میل می‌کند. از طرف دیگر چون k متناسب با تنفس است پس کاهش k برای ترک با طول محدود در مقایسه با ترک طویل، مساوی با کم شدن تنفس در محدوده ترک با طول محدود نسبت به ترک طویل با همان عمق است. Levy [۷] در همین زمینه یک رابطه تقریبی برای تنفس خمشی اسمی در محل ترک با طول محدود ارائه داده‌اند که اگر صفحه فقط تحت ممان خمشی واقع شود به صورت زیر در می‌آید:

$$\sigma_{bb} = \frac{\sigma_{bb}^\circ}{1 + \frac{3(3+v)(1-v)}{(2C/H)} \alpha_{bb}^\circ} \quad (2)$$

در رابطه اخیر σ تنفس خمشی اسمی در محل ترک و در سطح ورق، σ تنفس خمشی اسمی در محل ترک با طول بی‌نهایت و در سطح ورق و α_{bb}° کمپلائنس خمشی بدون بعد در مرکز ترک و α_{bb}° نسبت پواسون می‌باشد. با توجه به مطالب فوق معلوم می‌شود که مقدار ناپیوستگی شبی در طرفین ترک با طول محدود کمتر از خمشی یکسان خواهد بود.

حال در پی یافتن تابعی هستیم که شکل ترک را با داشتن پارامترهای مشخص کننده ترک (عمق نسبی، طول نسبی و مختصات مرکز ترک) بیان کند. اگر ترک را به شکل یک نیم بیضی در نظر بگیریم، تابع بیان کننده شکل ترک در مختصات کارتزین به صورت زیر خواهد

$$h(x) = \begin{cases} h_0 [1 - \frac{(x-x_0)^2}{C}]^{\frac{1}{2}} & : x_0 - C < x < x_0 + C \\ 0 & : |x| > x_0 - C \\ 0 & : |x| < x_0 + C \\ 0 & : x_0 + C < x < a \end{cases} \quad (3)$$

$$E(\zeta) = \frac{2C/H + 3(v+3)(1-v)\alpha_{bb}^0[1-f(\zeta)]}{2C/H + 3(v+3)(1-v)\alpha_{bb}^0} \quad (12)$$

رابطه (۱۱) ناپیوستگی شیب را در طرفین مرز فرضی در امتداد ترک بر حسب مشخصات ترک، خواص الاستیک و انحنای صفحه به دست می دهد.

۳- آنالیز ارتعاشی صفحه با ترکی به طول محدود

۳-۱- نحوه به دست آوردن توابع شکل مدهای ارتعاشی

معادله حاکم بر ارتعاشات آزاد صفحه مستطیلی به صورت زیر است [۱۱] :

$$-D_E \nabla^4 w = M \frac{\partial^2 w}{\partial t^2} \quad (13)$$

که در آن $\nabla^4 w = w(x, y, t)$ اپراتور بای هارمونیک، M جرم واحد سطح ورق و D_E سختی خمشی آن است. با استفاده از روش جداسازی متغیرها همراه با درنظر گرفتن $w(x, y, t) = W(x, y) T(t)$ داریم:

$$\frac{d^2 T(t)}{dt^2} + \omega^2 T(t) = 0 \quad (14-\text{الف})$$

$$\nabla^4 W - \frac{\omega^2 M}{D_E} W = 0 \quad (14-\text{ب})$$

معادله (۱۴- ب) در مختصات بدون بعد ζ و η به صورت زیر نوشته می شود:

$$\frac{\partial^4 W(\zeta, \eta)}{\partial \eta^4} + 2\phi^2 \frac{\partial^4 W(\zeta, \eta)}{\partial \eta^2 \partial \zeta^2} + \phi^4 \frac{\partial^4 W(\zeta, \eta)}{\partial \zeta^4} - \phi^4 \lambda^4 W(\zeta, \eta) = 0 \quad (15)$$

که در آن $\lambda^2 = \omega a^2 / D_E$ و $\phi = b/a$ می باشد و کلیه متغیرهای مستقل و وابسته بدون بعد هستند. برای حل معادله (۱۵) در حالتی که تکیه گاههای صفحه در $\zeta = 0$ و $\zeta = 1$ از نوع تکیه گاه ساده باشند می توان از روش حل Levy^{۱۲} استفاده کرد و جواب را به صورت رابطه (۱۶) نوشت:

$$W(\zeta, \eta) = \sum_{m=1}^{\infty} Y_m(\eta) \sin(m\pi\zeta) \quad (16)$$

چنانکه قبل نیز بیان شد مقدار تنش خمشی اسمی برای ترک با طول محدود کمتر از مقدار این تنش در مرکز ترک سرتاسری است. مقدار این تنش در محدوده عاری از ترک ($0 < \zeta_0 + c \leq \zeta \leq \zeta_0 - c$)، دارای مقدار طبیعی خود بوده و با حرکت از طرفین ترک به مرکز آن به کمترین مقدار خود در محدوده ترک می رسد. حال اگر کمپلاینس خمشی بدون بعد در مرکز ترک را α_{bb}^0 بنامیم و تغییرات (ζ) را در طول مرز فرضی مطابق رابطه (۶) در نظر بگیریم، می توانیم تغییرات تنش خمشی اسمی را در طول مرز فرضی به صورت تابع جدید زیر بیان کنیم [۹] :

$$\alpha_b(\zeta) = \sigma_{b\infty} - (\sigma_{b\infty} - \sigma_{b0}) f(\zeta) \quad (7)$$

که در آن $f(\zeta)$ را «تابع شکل ترک» نامیده و به صورت زیر تعریف می کنیم [۹] :

$$f(\zeta) = e^{-[(\zeta - \zeta_0)/c]^2/2c^2} \quad (8)$$

از طرف دیگر مقدار ناپیوستگی بوجود آمده در شیب طرفین ترک در اثر اعمال ممان خمشی متناسب با کمپلاینس خمشی ترک و تنش خمشی اسمی می باشد و به صورت زیر نوشته می شود [۷] :

$$\theta = \frac{12(1-v^2)}{E} \sigma_b \alpha_{bb} \quad (9)$$

و همچنین σ_b توسط رابطه زیر بیان می شود [۱۰] :

$$\sigma_{b\infty} = \frac{-EH}{2(1-v^2)} \left(\frac{\partial^2 w}{\partial y^2} + v \frac{\partial^2 w}{\partial x^2} \right) \quad (10)$$

اگر در رابطه (۹) به جای σ_b و α_{bb} به ترتیب از روابط (۶) و (۷) استفاده کنیم و رابطه (۱۰) را به صورت بدون بعد بنویسیم، به رابطه (۱۱) که بیان کننده ناپیوستگی شیب در طرفین مرز فرضی ($\eta = \eta_0$) است می رسیم [۹] :

$$\theta(\zeta)|_{\eta=\eta_0} = \frac{-6H}{b} \left(\frac{\partial^2 w}{\partial \eta^2} + v \phi^2 \frac{\partial^2 w}{\partial \zeta^2} \right) \alpha_{bb}^0 E(\zeta) f(\zeta) |_{\eta=\eta_0} \quad (11)$$

که در آن:

$$W_2(\zeta, \eta) = [(B_{2m} \operatorname{sh}\beta_m(\eta - 1) + C_{2m} s\gamma_m(\eta - 1)) \operatorname{sm}\pi\zeta : \eta_0 \leq \eta \leq 1] \quad (b - 20)$$

شرایط بین مرزی که در محل مرز فرضی در امتداد ترک و در موقعیت $\eta = \eta_0$ قابل اعمالند عبارتند از:

$$\begin{aligned} W_1 &= W_2 \quad (i) & M_{1\eta} &= M_{2\eta} \quad (ii) & V_{1\eta} &= V_{2\eta} \quad (iii) \\ \left[\frac{\partial w_1}{\partial \eta} - \theta(\zeta) - \frac{\partial w_2}{\partial \eta} \right] |_{\eta=\eta_0} &= 0 \quad (iv) \end{aligned} \quad (21)$$

سه رابطه اول بیان کننده تساوی خیز، ممان خمشی و نیروی برشی در محل مرز فرضی هستند و رابطه چهارم، مشخص کننده رابطه بین شب طرفین ترک و ناپیوستگی شب در محل ترک می باشد.

با اعمال شرایط بین مرزی (21) به معادلات (20 - الف و ب)، به دستگاه معادلات همگن می رسیم. برای به دست آوردن جواب های غیر صفر برای مجهولات B_{1m} و C_{1m} و B_{2m} و C_{2m} لازم است که دترمینان ضرایب صفر شود که دترمینان حاصل به صورت زیر خواهد بود [۹]:

$$\begin{vmatrix} \operatorname{sh}\beta_m \eta_0 & s\gamma_m \eta_0 \\ \lambda_+^2 \operatorname{sh}\beta_m \eta_0 & -\lambda_-^2 s\gamma_m \eta_0 \\ \beta_m \lambda_-^2 \operatorname{ch}\beta_m \eta_0 & -\gamma_m \lambda_+^2 c\gamma_m \eta_0 \\ [\beta_m \operatorname{ch}\beta_m \gamma_0 + \frac{6H}{b} \alpha_{bb}^0] & [\gamma_m c\gamma_m \eta_0 - \frac{6H}{b} \alpha_{bb}^0] \\ .(\lambda_+^2 E(\zeta) f(\zeta) \operatorname{sh}\beta_m \eta_0)] & .(\lambda_-^2 E(\zeta) f(\zeta) s\gamma_m \eta_0) \end{vmatrix}$$

$$\begin{vmatrix} -\operatorname{sh}\beta_m (\eta_0 - 1) & -s\gamma_m (\eta_0 - 1) \\ -\lambda_+^2 \operatorname{sh}\beta_m (\eta_0 - 1) & -\lambda_-^2 s\gamma_m (\eta_0 - 1) \\ -\beta_m \lambda_-^2 \operatorname{ch}\beta_m (\eta_0 - 1) & \gamma_m \lambda_+^2 c\gamma_m (\eta_0 - 1) \\ -\beta_m \operatorname{ch}\beta_m (\eta_0 - 1) & -\gamma_m c\gamma_m (\eta_0 - 1) \end{vmatrix} = 0 \quad (22)$$

در رابطه فوق از عبارت های ساده کننده زیر برای خلاصه نویسی استفاده شده است:

$$\lambda_+^2 \equiv \phi^2 [\lambda^2 - (m\pi)^2 (1 - v)]$$

$$\lambda_-^2 \equiv \phi^2 [\lambda^2 - (m\pi)^2 (1 - v)]$$

رابطه (22) بر حسب متغیر ζ نوشته شده است و لازم

که با جایگذاری در معادله (15) خواهیم داشت:

$$\frac{d^4 Y_m(\eta)}{d\eta^4} - 2\phi^2 (m\pi)^2 \frac{d^2 Y_m(\eta)}{d\eta^2} + \phi^4 [(m\pi)^4 - \lambda^4] Y_m(\eta) = 0 \quad (17)$$

حال اگر معادله (17) را برای دو ناحیه صفحه ترکدار شکل (1) بنویسیم به هشت شرط مرزی و بین مرزی نیاز خواهیم داشت، شرایط مرزی برای ناحیه (1) و (2) به ترتیب در $\eta = 0$ و $\eta = 1$ و شرایط بین مرزی در محل مرز فرضی که جداکننده دو ناحیه است نوشته می شوند. در هر مرز خارجی دو شرط مرزی قابل اعمال است و از آنجایی که تکیه گاه های صفحه از نوع ساده انتخاب شده است، لذا شرایط مرزی در $\eta = 0$ و $\eta = 1$ برای هر دو ناحیه توسط رابطه (16) ارضاء می شود. شرایط مرزی در $\eta = 0$ برای ناحیه (1) و $\eta = 1$ برای ناحیه (2) عبارتند از:

$$Y_{1m}(\eta)|_{\eta=0} = \frac{d^2 Y_{1m}(\eta)}{d\eta^2}|_{\eta=0} = 0 \quad (18 - \text{الف})$$

$$Y_{2m}(\eta)|_{\eta=1} = \frac{d^2 Y_{2m}(\eta)}{d\eta^2}|_{\eta=1} = 0 \quad (18 - \text{ب})$$

از طرف دیگر جواب معادله (17) را می توان در دو محدوده $(m\pi)^2 < \lambda^2$ و $\lambda^2 < (m\pi)^2$ به صورت زیر به دست آورد:

$$Y_m(\eta) = A_m \operatorname{ch}\beta_m \eta + B_m \operatorname{sh}\beta_m \eta + C_m s\gamma_m \eta + D_m c\gamma_m \eta : \lambda^2 > (m\pi)^2 \quad (19 - \text{الف})$$

$$Y_m(\eta) = A_m \operatorname{sh}\beta_m \eta + B_m \operatorname{ch}\beta_m \eta + C_m \operatorname{sh}\gamma_m \eta + D_m \operatorname{ch}\gamma_m \eta : \lambda^2 < (m\pi)^2 \quad (19 - \text{ب})$$

که: $\gamma_m = \phi \sqrt{\lambda^2 - (m\pi)^2}$ یا $\phi \sqrt{(m\pi)^2 - \lambda^2}$ هر کدام که حقیقی باشد، $\beta_m = \phi \sqrt{\lambda^2 + (m\pi)^2}$ و $A_m = D_m$ ضرایب ثابتی هستند. حال اگر شرایط مرزی (18 - الف و ب) را در معادلات (19) اعمال کنیم به دو جواب در دو محدوده بیان شده برای λ^2 می رسیم که در محدوده $(m\pi)^2 < \lambda^2 < (m\pi)^2$ خواهیم داشت:

$$W_1(\zeta, \eta) = (B_{1m} \operatorname{sh}\beta_m \eta + C_{1m} s\gamma_m \eta) \operatorname{sm}\pi\zeta : 0 \leq \eta \leq \eta_0 \quad (20 - \text{الف})$$

عمق ترک عمدهاً به صورت شدت تغییرات در تابع ممان خمثی در محدوده ترک ظاهر می‌شود. اگر فرض کنیم که اثر ترکی به طول $2C$ در فاصله $(2C) = y_0 \pm \frac{b}{a}$ بر روی تابع ممان خمثی از بین می‌رود (y_0) مختصه مرکز ترک در امتداد عمود بر آن است و a و b ابعاد صفحه‌اند، فاصله اخیر در مختصات بدون بعد به صورت زیر خواهد بود:

$$\frac{D}{b} = \eta_0 \pm \frac{2b}{ab} C \Rightarrow d = \eta_0 \pm 2c, c = \frac{C}{a} \quad (25)$$

از آنجایی که مقدار B_{1m} در رابطه (۲۲ - الف و ب) دلخواه است می‌توانیم با فرض $1 = Y_{1m}(\eta_0 - 2c)$ (یا $Y_{1m}(\eta_0 + 2c) = 1$ ضریب $B_{1m}(\eta_0 + 2c) = 1$ کنیم:

$$B_{1m} = \frac{1}{\left[\operatorname{sh} \beta_m (\eta_0 - 2c) + \frac{e_3 + e_4 E(\zeta) f(\zeta)}{e_5 E(\zeta) f(\zeta)} s\gamma_m (\eta_0 - 2c) \right]} \quad (26)$$

که با جایگذاری در رابطه (۲۳ - الف و ب) و مرتب کردن آنها بر حسب η خواهیم داشت:

$$W_{1m} = F_1(\zeta) \operatorname{sh} \beta_m \eta + F_2(\zeta) s\gamma_m \eta \quad (\text{الف}) \quad (27)$$

$$W_{2m} = e_1 F_1(\zeta) \operatorname{sh} \beta_m (\eta - 1) + e_2 F_2(\zeta) s\gamma_m (\eta - 1) \quad (\text{ب}) \quad (27)$$

که در روابط اخیر (ζ) و ($F_1(\zeta)$ و $F_2(\zeta)$) به صورت زیر تعریف شده‌اند:

$$F_1(\zeta) \equiv \frac{e_5 E(\zeta) f(\zeta) \operatorname{sm} \pi \zeta}{e_8 E(\zeta) f(\zeta) + e_9} \quad (\text{الف}) \quad (28)$$

$$F_2(\zeta) \equiv \frac{[e_3 + e_4 E(\zeta) f(\zeta)] \operatorname{sm} \pi \zeta}{e_8 E(\zeta) f(\zeta) + e_9}, \quad (\text{ب}) \quad (28)$$

و

$$e_6 \equiv \operatorname{sh} \beta_m (\eta_0 - 2c) \quad (\text{الف}) \quad (29)$$

$$e_7 \equiv s\gamma_m (\eta_0 - 2c) \quad (\text{ب}) \quad (29)$$

است که این رابطه برای همه ζ ‌ها در محدوده $0 \leq \zeta \leq 1$ صفر شود. از آنجایی که مسأله از نوع مقدار ویژه ζ می‌باشد، بنابراین معادله تابع شکل مد ارتعاشی برحسب یکی از ضرایب و با دامنه دلخواه نوشته خواهد شد. بعد از انجام عملیات سطحی مناسب، تابع شکل مدهای ارتعاشی برای دو ناحیه (۱) و (۲) به صورت زیر به دست می‌آید [۹]:

$$W_{1m} = B_{1m} (\operatorname{sh} \beta_m \eta + \frac{e_3 + e_4 E(\zeta) f(\zeta)}{e_5 f(\zeta)} s\gamma_m \eta) \operatorname{sm} \pi \zeta = Y_{1m}(\eta) \operatorname{sm} \pi \zeta \quad (22 - \text{الف})$$

$$W_{2m} = B_{1m} [(e_1 \operatorname{sh} \beta_m (\eta - 1) + e_2 \frac{e_3 + e_4 E(\zeta) f(\zeta)}{e_5 f(\zeta)} s\gamma_m (\eta - 1))] \operatorname{sm} \pi \zeta = Y_{2m}(\eta) \operatorname{sm} \pi \zeta \quad (22 - \text{ب})$$

پارامترهای e_i تا e_5 به صورت زیر تعریف شده‌اند:

$$e_1 = \operatorname{sh} \beta_m \eta_0 / \operatorname{sh} \beta_m (\eta_0 - 1) \quad (24 - \text{الف})$$

$$e_2 = s\gamma_m \eta_0 / s\gamma_m (\eta_0 - 1) \quad (24 - \text{ب})$$

$$e_3 = 2\beta_m \phi^2 \lambda^2 [\operatorname{ch} \beta_m \eta_0 - \operatorname{sh} \beta_m \eta_0 \operatorname{ch} \beta_m (\eta_0 - 1) / \operatorname{sh} \beta_m (\eta_0 - 1)] \quad (24 - \text{ج})$$

$$e_4 = \frac{6H}{b} \alpha_{bb}^{\circ} (\lambda_+^2)^2 \operatorname{sh} \beta_m \eta_0 \quad (24 - \text{د})$$

$$e_5 = \frac{6H}{b} \alpha_{bb}^{\circ} \lambda_-^2 \lambda_+^2 s\gamma_m \eta_0 \quad (24 - \text{و})$$

چنانکه قبلاً نیز اشاره شد، وجود ترک باعث کاهش سختی موضعی در محل ترک می‌شود. بنابراین در محدوده ترک با طول محدود، مقدار ممان خمثی اسمی کاهش یافته و تابع ممان خمثی در محل ترک پیوسته می‌باشد، به عبارت دیگر علی رغم وجود ترک (ترکی) که بخشی از ضخامت صفحه را طی کرده باشد) مقدار ممان خمثی در طرفین ترک با هم برابرند و با فاصله گرفتن از ترک در امتداد عمود بر آن، اثر ترک بر تابع ممان خمثی کم می‌شود و در فاصله کاملاً دور، تأثیر وجود ترک بر تابع ممان خمثی از بین می‌رود. پارامترهای مؤثر در تعیین فاصله مزبور، طول و عمق ترک است. هر چه طول ترک بیشتر باشد، فاصله ای که اثر ترک بر ممان خمثی از بین می‌رود، بیشتر خواهد شد و برای ترک سرتاسری این فاصله تمام طول صفحه را در بر می‌گیرد و تأثیر

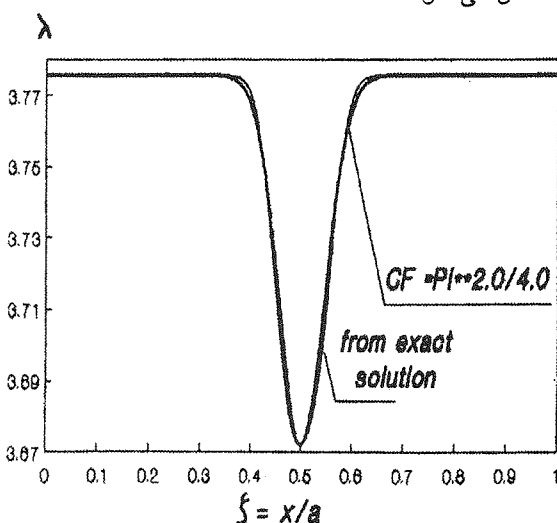
بدون تغییر باقی بماند، موجب افزایش دقت توابع شکل مدهای ارتعاشی صفحه معیوب خواهد شد. بنابر این برای دست یابی به چنین تابعی می‌توان λ را به صورت تابع دو متغیره بر حسب ζ و η بیان کرد. این فرض به واقعیت فیزیکی مسأله نزدیک می‌باشد و اگر تابع تعريف کننده λ در جهت عمود بر ترک به صورت تابع نمایی بیان شود به طوری که ماکزیمم تغییر آن از λ در محل ترک ($\eta = \eta_0$) اتفاق بیافتد و در فاصله $2c$ $\lambda = \lambda_0 \pm \eta_0$ مقدار تغییر آن از λ به صفر کاهش یابد، اهداف بیان شده را برآورده می‌کند [۹]:

$$\lambda(\zeta, \eta) = \lambda(\zeta) + (\lambda_1 - \lambda_0)\left[1 - e^{-(\eta - \eta_0)^2/c^2}\right] \quad (30)$$

که λ در رابطه (۳۰) به صورت زیر تعريف می‌شود:

$$\lambda(\zeta) = \lambda_1 - (\lambda_1 - \lambda_0)e^{-(\zeta - \zeta_0)^2/c^2} CF \quad (31)$$

که CF در ابظه (۳۱) ضریب تصحیح می‌باشد. در شکل (۲) تغییرات λ در محدوده $0 \leq \zeta \leq \eta_0$ که از طریق حل دقیق رابطه (۲۲) به دست آمده است با مقادیر λ به دست آمده از طریق رابطه پیشنهادی (۳۰) (برای λ یک حالت نمونه $2c = 0.2$ و $\eta_0 = 0.4$ و $\eta_0 = 0.5$ و $\lambda_1 = 3.671$ و $\lambda_0 = 3.776$ می‌شود که با انتخاب $CF = \frac{\pi}{2}$ دقت بسیار خوبی حاصل می‌شود.



شکل (۳) مقایسه منحنی تغییرات λ به دست آمده از حل دقیق و رابطه

$$\text{پیشنهادی (۳۰)} \text{ با در نظر گرفتن ضریب تصحیح}^2 \quad CF = \frac{\pi}{2}$$

$$e_8 \equiv e_5 e_6 + e_4 e_7 \quad (29-\text{ج})$$

$$e_9 \equiv e_3 e_7 \quad (29-\text{د})$$

اگر روند اخیر را برای محدوده $(m\pi)^2 < \lambda^2$ در پیش بگیریم به روابط مشابهی می‌رسیم.

۳-۲- بحث بر روی توابع شکل مدهای ارتعاشی
توابعی که برای تعیین شکل مدهای ارتعاشی صفحه ترکدار با طول محدوده مطابق روابط (۲۷-الف و ب) به دست آمدند، در محدوده $c \leq \zeta_0 + c \leq 1$ و $0 \leq \zeta_0 - c \leq \zeta \leq \zeta_0 + c$ دقت دقیق بوده ولی در محدوده $c \leq \zeta_0 - c \leq \zeta \leq \zeta_0 + c$ دقت آنها قابل بحث است. از آنجایی که در به دست آوردن توابع اخیر شرایط مرزی را در محل مرزهای خارجی و شرایط بین مرزی را در محل ترک (اعم از شرایط مرزی و بین مرزی هندسی و طبیعی) اعمال کردیم لذا توابع اخیر در محدوده یاد شده حکم توابع مقایسه ای را خواهند داشت و در این مرحله هدف ما بهبود بخشیدن توابع اخیر و دست یافتن به نتایج دقیقتر می‌باشد به عبارت دیگر، هدف سوق دادن توابع مقایسه ای مورد بحث در محدوده $c \leq \zeta_0 - c \leq \zeta \leq \zeta_0 + c$ به سمت توابع ویژه است.

با استفاده از رابطه (۲۲) و با اعمال «تابع شکل ترک» که به صورت یک تابع پیوسته در فاصله $1 \leq \zeta \leq \zeta_0 + c$ تعريف شده و براساس واقعیت فیزیکی مسأله، ملاحظه می‌شود که در محدوده های بدون عیب ($\zeta_0 - c \leq \zeta \leq \zeta_0 + c$) مقادیر به دست آمده برای λ ثابتند، در حالی که مقدار آن در محدوده وجود ترک ($\zeta_0 - c \leq \zeta \leq \zeta_0 + c$) تغییر می‌کند و چگونگی تغییرات آن در محدوده یاد شده بدین صورت است که از یک مقدار ماکزیمم ($\lambda_{\max} = \lambda_1$) در دو انتهای ترک شروع شده و در وسط ترک به کمترین مقدار خود ($\lambda_{\min} = \lambda_0$) در محدوده ترک می‌رسد که از حل معادله (۲۲) می‌توان تابع λ را در محدوده $1 \leq \zeta \leq 0$ به دست آورد (برای $\lambda^2 < (m\pi)^2$ نیز روند مشابهی به کار برده می‌شود) اما از آنجا که محاسبات کامپیوترا مطابق روش ذکر شده برای به دست آوردن λ وقت گیر است، می‌توان تابعی را برای λ تعريف کرد که علاوه بر داشتن دقت کافی، زمان محاسبات را نیز به طور چشمگیری کاهش دهد. اگر تابع λ را طوری در نظر بگیریم که در محدوده ترک متأثر از ترک بوده و در نواحی دیگر که کاملاً از ترک دورند،

رابطه (۳۴) زمانی برای یک صفحه ترکدار قابل اعمال است که انرژی پتانسیل الاستیک ذخیره شده در موضع ترک نیز به انرژی پتانسیل کلی صفحه اضافه شده باشد. انرژی پتانسیل ذخیره شده در محل ترک با فرض باز بودن آن، به صورت زیر قابل محاسبه است:

$$dP_c = M_\eta \theta \zeta d\zeta |_{\eta=\eta_0} \quad (35)$$

در رابطه (۳۵) M_η گشتاور خمشی است که موجب باز شدن ترک می‌شود و θ مقدار ناپیوستگی شبیه صفحه در طرفین ترک و در موقعیت ζ می‌باشد که بعد از جایگذاری مقادیر در رابطه (۳۵) خواهیم داشت:

$$P_{cl\eta=\eta_0} = \frac{6HD_E \alpha_{bb}}{b^2 \phi^2} \int_0^1 \left(\frac{\partial^2 W}{\partial \eta^2} + v \phi^2 \frac{\partial^2 W}{\partial \zeta^2} \right)^2 E(\zeta) f(\zeta) d\zeta |_{\eta=\eta_0} \quad (36)$$

انرژی پتانسیل ذخیره شده در صفحه معیوب از مجموع انرژی‌های پتانسیل ذخیره شده در دو ناحیه (۱) و (۲) و انرژی پتانسیل ذخیره شده در محل ترک به دست می‌آید:

$$P = (P . E.)_{1m} + (P . E.)_{2m} + P_c \quad (37)$$

انرژی جنبشی مبنا^{۱۴} از مجموع انرژی جنبشی مبنا در دو ناحیه (۱) و (۲) به دست می‌آید:

$$K^* = (K . E.)^*_{1m} + (K . E.)^*_{2m} \quad (38)$$

با در نظر گرفتن روابط (۳۷) و (۳۸) فرکانس‌های طبیعی صفحه به صورت زیر به دست می‌آید:

$$f = \frac{1}{2\pi} \sqrt{\frac{P_*}{K}} \quad (39)$$

۴-۳- ارائه چند نمونه از نتایج به دست آمده
صفحه ترکداری را همانند شکل (۱) برای حالت‌های مختلف ترک از نظر ابعاد و موقعیت مورد بررسی قرار می‌دهیم. ابعاد و خواص مکانیکی صفحه را به صورت زیر در نظر می‌گیریم:

اگر توابع مدهای ارتعاشی با در نظر گرفتن رابطه (۳۰) به دست آید توابع حاصل توابع مقایسه‌ای خواهد بود، چرا که تمام شرایط مرزی و بین مرزی (هندسی و طبیعی) را ارضاء خواهند کرد. استفاده از رابطه (۳۰) در به دست آوردن توابع شکل مدهای ارتعاشی موجب می‌شود که علاوه بر ارضاء شرایط هندسی و طبیعی، نتایج از دقت بیشتری برخوردار باشند.

روشن است که اگر در محاسبه فرکانس‌های طبیعی در مدهای مختلف ارتعاشی صفحه، از توابع ویژه استفاده کنیم فرکانس‌های طبیعی محاسبه شده دقیق خواهند بود، در غیر این صورت با انتخاب توابعی از نوع دیگر، مقداری تقریب در محاسبات وجود خواهد داشت. از آنجایی که تأثیر ترک‌های نسبتاً کوچک بر فرکانس‌های طبیعی کم است، بنابراین برآورد چنین تغییرات جزئی در فرکانس‌های طبیعی، لازم است که توابع انتخاب شده برای شکل مدهای ارتعاشی تا حد امکان به توابع ویژه نزدیک باشند. توابع شکل مدهای ارتعاشی (۲۷-الف و ب) با در نظر گرفتن λ به صورت رابطه (۳۰)، از نظر دقت به توابع ویژه بسیار نزدیک بوده و دقت آنها به مراتب از توابع مقایسه‌ای بیشتر است. لذا این توابع جدید را «توابع مقایسه‌ای اصلاح شده» می‌نامیم [۹].

۳-۳- استفاده از «توابع مقایسه‌ای اصلاح شده» در محاسبه فرکانس‌های طبیعی صفحه مستطیلی با قدرکی به طول محدود

انرژی جنبشی و پتانسیل ماکزیمم مربوط به صفحه مستطیلی در مختصات بدون بعد به صورت زیر به دست می‌آید [۹]:

$$K.E. = \frac{1}{2} M \phi \omega^2 a^4 \iint_A W^2 d\zeta d\eta = (K.E.)^* \omega^2 \quad (32)$$

$$P.E. = \frac{D_E}{2\phi} \iint_A [\phi^2 \left(\frac{\partial^2 W}{\partial \zeta^2} \right)^2 + \frac{1}{\phi^2} \left(\frac{\partial^2 W}{\partial \eta^2} \right)^2 +$$

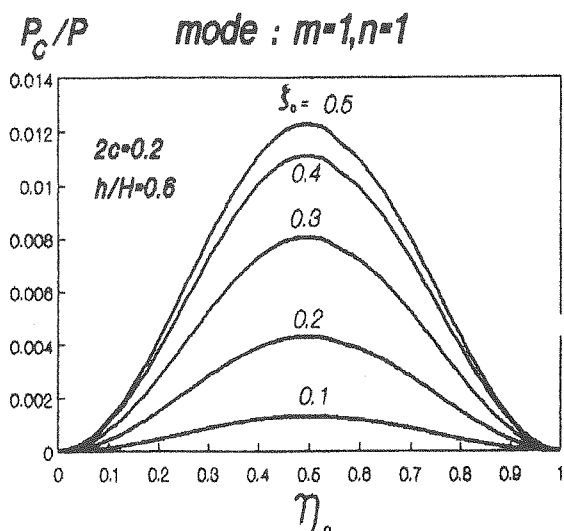
$$2v \frac{\partial^2 W}{\partial \zeta^2} \frac{\partial^2 W}{\partial \eta^2} + 2(1-v) \left(\frac{\partial^2 W}{\partial \zeta \partial \eta} \right)^2] d\zeta d\eta \quad (33)$$

فرکانس طبیعی زاویه‌ای، ω ، را می‌توان با در نظر گرفتن روابط (۳۲) و (۳۳) به دست آورد:

$$\omega = \sqrt{\frac{P . E.}{(K . E.)^*}} \quad (34)$$

در شکل های (۴ - الف) و (۴ - ب) تأثیر ترک با طول نسبی ۰.۲ و عمق نسبی ۰.۶ بر فرکانس های اول و دوم نشان داده شده است، چنانکه از این شکل ها معلوم است وجود ترک با طول محدود در موقعیت های $\eta_0 = 0$ و $\eta_0 = 1$ هیچگونه تأثیری بر فرکانس های طبیعی ندارد که علت آن وجود تکیه گاههای ساده در آن نقاط است. در شکل (۴ - ب) علاوه بر دو موقعیت فوق در $\eta_0 = 0.5$ نیز وجود ترک تأثیری بر فرکانس طبیعی دوم نمی گذارد و این امر ناشی از وجود خط گرهی $\zeta = 0.5$ در $\eta_0 = 0.5$ است و با نتایج مرجع [۱۲] سازگار است.

نکته دیگری که بایستی مورد توجه قرار گیرد، بررسی تأثیر ζ است. از شکل های (۴ - الف) و (۴ - ب) ملاحظه می شود که به ازای هر $\eta_0 = \text{constant}$ ، با افزایش ζ از ۰.۱ تا ۰.۵ تأثیر ترک بر فرکانس های طبیعی نیز بیشتر می شود و از طرف دیگر به ازای هر ζ ، ماکریم تأثیری بر فرکانس های طبیعی زمانی رخ می دهد که η_0 در وسط دو خط گرهی متواالی قرار داشته باشد. در شکل (۵) تأثیر موقعیت و ابعاد ترک بر میزان «انرژی پتانسیل نسبی» $(\frac{P_c}{P})$ ذخیره شده در محل ترک در مدت ارتعاشی اول نشان داده شده است.



شکل (۵) تغییرات انرژی پتانسیل نسبی ذخیره شده در برابر η_0 به ازای مقادیر مختلف ζ در مدت ارتعاشی اول.

چنانکه از این شکل معلوم است به ازای هر η_0 ، با افزایش ζ از ۰.۱ تا ۰.۵ نسبت $(\frac{P_c}{P})$ افزایش یافته و بیشترین مقدار آن در مرکز صفحه ($\zeta = 0.5$) $\eta_0 = 0.5$ اتفاق می افتد.

$$E = 200 \text{ GPa}$$

$$v = 0.3$$

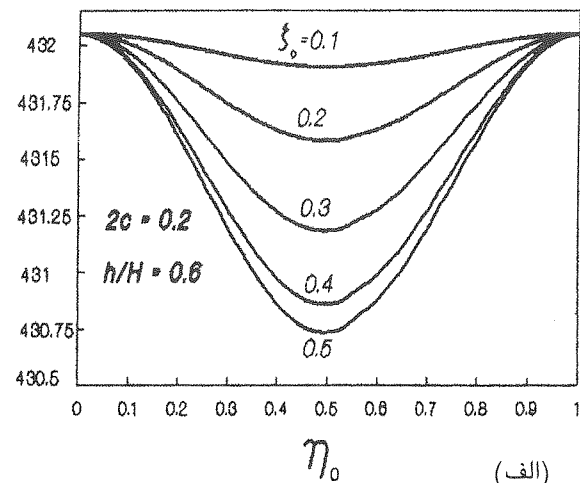
$$\rho = 7860 \text{ kg/m}^3$$

$$a = 18 \text{ Cm}$$

$$b = 27 \text{ Cm}$$

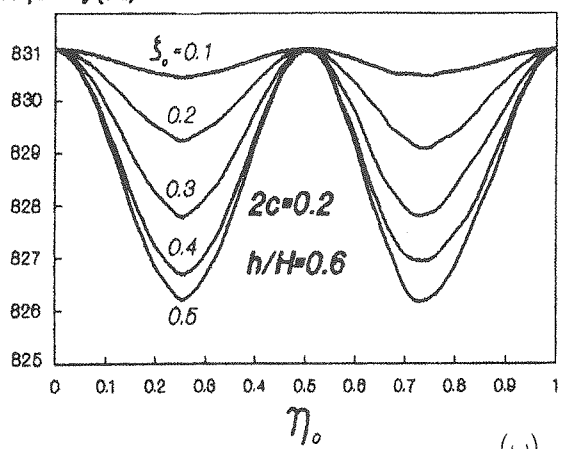
$$H = 4 \text{ mm}$$

Frequency (Hz) mode : m=1, n=1



(الف)

frequency (Hz) mode : m=1, n=2



(ب)

شکل (۴) تغییرات فرکانس طبیعی اول و دوم صفحه با ترکی به مشخصات $\zeta = 0.6$ و $2c = 0.2$ در برابر تغییرات η_0 به ازای مقادیر مختلف ζ

۴- نتیجه‌گیری

بیشتر می‌شود. بنابر این موضع ترک یکی از پارامترهای بسیار مهم در چگونگی کاهش فرکانس‌های طبیعی صفحه معیوب می‌باشد.

فهرست علائم و اختصارات

a, b	ابعاد صفحه
$2C$	طول ترک
$2c$	طول نسبی ترک
$c(.) = \cos(.)$	
$\operatorname{ch}(.) = \cosh(.)$	سختی خمی صفحه
$D_E = \frac{EH^3}{12(1-v^2)}$	مدول الاستیسیته
E	توابعی که در به دست آوردن توابع شکل مدهای ارتعاشی ظاهر می‌شوند.
$F_1(\zeta), F_2(\zeta)$	تابع شکل ترک
$f(\zeta)$	فرکانس طبیعی صفحه بر حسب هر ترک
f	تابع بدون بعد که در محاسبه کمپلائنس خمی استفاده می‌شود
g_b	ضخامت صفحه
H	عمق ترک بر حسب تابعی از x
$h(x)$	عمق مرکز ترک
h_0	فاکتور شدت تنفس برای ترک با طول محدود
k	فاکتور شدت تنفس برای ترک با طول بی‌نهایت
k_{∞}	
$K.E.$	انرژی جنبشی
K^*	انرژی جنبشی مبنای
M	جرم واحد سطح صفحه
M_{11}, \dots	ممان خمی
$P.E.$	انرژی پتانسیل
P_c	انرژی پتانسیل در محل ترک
S	تکیه گاه ساده
$s(.) = \sin(.)$	
$sh(0) = \sinh(.)$	تابع وابسته به زمان
$T(t)$	نیروی برشی
$V_{1\mu, \dots}$	خیز صفحه
$w, W, W_{1m, \dots}$	مختصات فضایی صفحه
x, y, z	مختصات مرکز ترک
x_0, y_0, \dots	تابع شکل مد ارتعاشی در امتداد θ
$y_m(\theta), \dots$	کمپلائنس خشی بدون بعد
α_{bb}	کمپلائنس خمی بدون بعد در مرکز ترک
α_{bb}^0	امیرکبیر / سال یازدهم / شماره ۴۲

وجود ترک در صفحه موجب کاهش سختی موضعی صفحه در محل ترک می‌شود و هر چه ابعاد ترک بزرگتر بوده و از خطوط گرهی دورتر باشد، اثر بیشتری بر روی فرکانس‌های طبیعی صفحه خواهد داشت. از آنجایی که تأثیر ترک‌های نسبتاً کوچک بر فرکانس‌های طبیعی کم است بنابر این برای برآورد تغییرات جزئی در فرکانس‌های طبیعی لازم است که توابع انتخاب شده تا حد امکان به توابع ویژه نزدیک باشند و از این جهت است که استفاده از توابع مجاز به علت تقریب‌های بسیار بزرگی که در مسئله وارد می‌کند، توصیه نمی‌شود. چرا که تأثیر ترک در قبال آنها بسیار ناچیز است و حتی در بعضی مواقع جواب‌های به دست آمده برای فرکانس‌های طبیعی صفحه معیوب، بزرگتر از فرکانس‌های طبیعی صفحه سالم است که بر خلاف واقعیت فیزیکی بوده و کاملاً غلط می‌باشد.

توابعی که از نظر دقت و منطبق بودن بر واقعیت، حد وسط توابع ویژه و توابع مجاز هستند توابع مقایسه‌ای می‌باشند. استفاده از این توابع نیز خطاهای غیرقابل قبولی در محاسبات وارد می‌کند. به عنوان مثال، وجود ترکی با طول نسبتاً کوچک و عمق نسبتاً زیاد در صفحه منجر به واگراشدن جواب‌ها می‌شود. ولی برای ترکهایی با طول بیشتر و عمق کمتر، نتایج به دست آمده بهبود می‌یابند. بنابر آنچه بیان شد در حالت کلی نمی‌توان از توابع مجاز و مقایسه‌ای ذکر شده استفاده کرد و از طرف دیگر دست یابی به توابع ویژه کاری بسیار دشوار است. بنابر این استفاده از توابع جدیدی به نام «توابع مقایسه‌ای اصلاح شده» که در این مقاله برای اولین بار پیشنهاد و مورد استفاده واقع شده‌اند و از نظر دقت به توابع ویژه بسیار نزدیک می‌باشند، دارای مزیت خاصی خواهد بود. عمدت ترین ویژگی‌های این توابع عبارتند از:

- عاری از معایب ذکر شده برای توابع مجاز و مقایسه‌ای هستند؛

- دارای دقت بسیار خوب بوده و در سطح مطلوب و خیلی نزدیک به توابع ویژه هستند؛

- به دست آوردن آنها ساده‌تر از توابع ویژه می‌باشد. نتایج به دست آمده برای تغییرات فرکانس طبیعی و انرژی پتانسیل ذخیره شده در محل ترک با در نظر گرفتن «توابع مقایسه‌ای اصلاح شده»، نشان می‌دهند که هرچه توانایی ذخیره انرژی پتانسیل در محل ترک P_c بیشتر باشد، کاهش فرکانس طبیعی نیز به همان نسبت

زیرنویس‌ها

1 - Comparison functions	β_m, γ_m	متغیرهایی که از حل معادله ارتعاشی صفحه ظاهر می‌شوند.
2 - Modified comparison functions	ζ, η	مختصات بدون بعد صفحه
3 - Local flexibility	ζ_0, η_0	مختصات بدون بعد مرکز ترک
4 - Stress - intensity factor	θ	مقدار ناپیوستگی در شب طرفین ترک
5 - Compliance		پارامترهایی که از حل معادله ارتعاشی صفحه ظاهر می‌شوند.
6 - Eigenfunctions	$\lambda^2, \lambda^2_-, \lambda^2_+$	
7 - Vibration analysis	v	نسبت پواسون
8 - Admissible functions	ξ	عمق نسبی ترک سرتاسری
9 - Rayleigh - Ritz method		تنش خمشی اسمی در محل ترک و در سطح
10 - Rotary inertia	σ_b^0	صفحه
11 - Shear deformation		تنش خمش اسمی در محل ترک سرتاسری و در سطح
12 - Levy - type solution	$\sigma_{b\infty}$	صفحه
13 - Eigenvalue problem	ϕ	نسبت ابعاد صفحه
14 - Reference kinetic energy	ω	فرکانس طبیعی زاویه‌ای صفحه
15 - Nodal line		

مراجع

- [1] D. Young, "Vibration of Rectangular Plates by the Ritz Method", Journal of Applied Mechanics, Vol. 17, pp. 448-452, 1950.
- [2] A. W. Leissa, O. G. McGee and C. H. Huang, "Vibration of circular plates having V-notches or sharp radial cracks", Journal of Sound & Vibration, Vol. 161 (2), pp. 227-239, 1993.
- [3] H. P. Lee, "Fundamental frequencies of annular plates with internal cracks", Computers & Structures, Vol. 43, No. 6, pp. 1085-1089, 1992.
- [4] Guan - Liang Qian, Song - Nian Gu and Jie-Sheng Jiang, "A finite element model of cracked plates and application to vibration problems", Computers & Structures, Vol. 39, No. 5, pp. 483-487, 1991.
- [5] D. L. Prabhakara and P. K. Datta, "Vibration and static stability characteristic of rectangular plates with a localized flaw", Computers & Structures, Vol. 49, No. 5, pp. 825-836. 1993.
- [6] H. P. Lee and S. P. Lim, "Vibration of cracked rectangular plates including transverse shear deformation and rotary inertia", Computers & Structures, Vol. 49, No. 4, pp. 715-718, 1993.
- [7] J. R. Rice, N. Levy, "The part-through surface crack in an elastic plate", Journal of Applied Mechanics, Vol. 3, pp. 183-194, 1972.
- [8] B. Gross and J. E. Srawley, "Stress-intensity factors for single edge notch specimens in bending or combined bending and tension by boundary collocation of a stress function", NASA Technical Note D. 2603, 1965.
- [۹] رضایی، موسی، توسعه کاربرد آنالیز ارتعاشی برای عیب یابی صفحات تحت بارهای خارجی، پایان نامه کارشناسی ارشد، دانشگاه تربیت مدرس، ۱۳۷۴.
- [10] A. C. Ugural, Stresses in Plates and Shells, McGraw-Hill, 1981.
- [11] Leonard Meirovitch, "Analytical Methods in Vibrations", Macmillan Publishing Co. 1967.
- [12] D. J. Gorman, Free Vibration Analysis of Rectangular Plates, Elsevier North Holland Inc., 1982.
- [۱۳] اسماعیل زاده خادم، سیامک و رضایی، موسی، «تعیین موقعیت و عمق ترک سرتاسری در صفحات مستطیلی با استفاده از آنالیز ارتعاشی»، مجله بین المللی مهندسی دانشگاه علم صنعت ایران، شماره ۱ - ب، تابستان ۱۳۷۷.